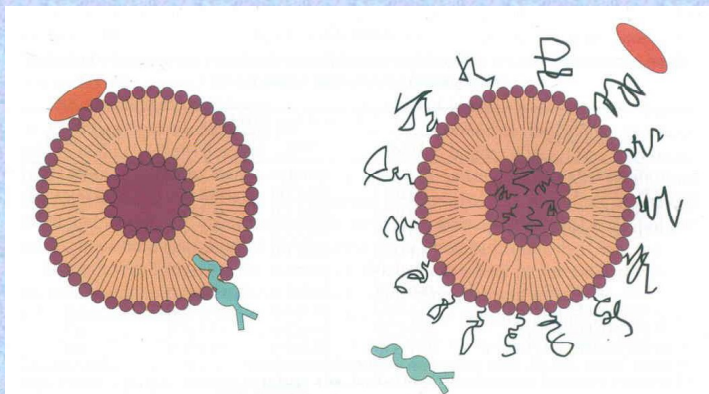


Liposzómák diagnosztikai és terápiás alkalmazásai I.

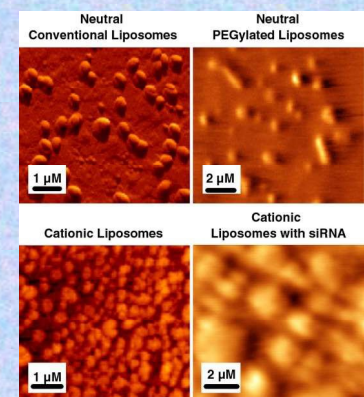
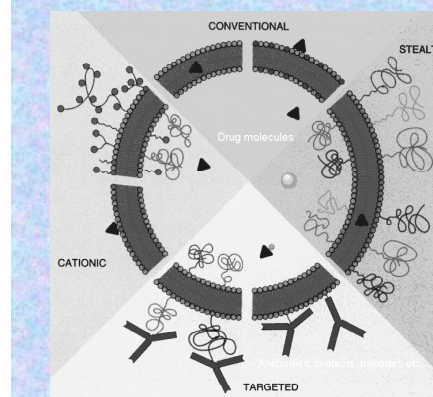
Dr. Voszka István

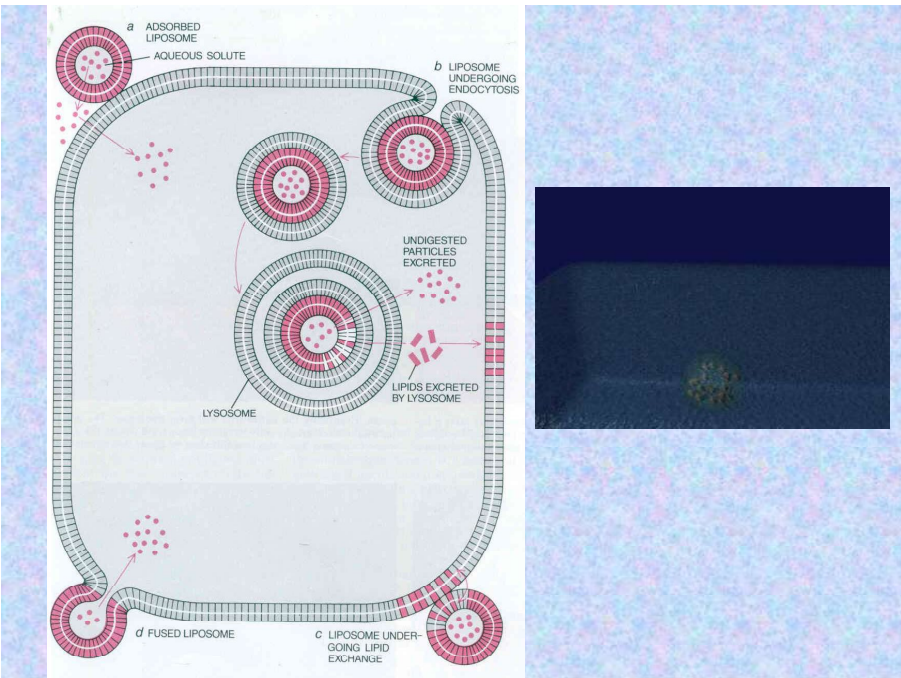


- Előny:**
- célzott bejuttatás
 - kevesebb mellékhatás
 - kisebb dózis elegendő

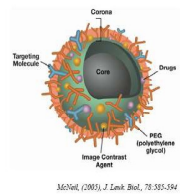
- máj, lép vizsgálata vagy kezelése közönséges (C) liposzómákkal
- RES (MPS) telítése „üres” liposzómákkal → utána más területek vizsgálhatók
- „stealth” (S) liposzómák az immunrendszer jobban ki tudják kerülni
- speciális markerek, receptorok alkalmazása (immunliposzómák) → szervspecifikus célbajuttatás

Liposzómák csoportosítása





Diagnosztikai alkalmazások: diagnosztikában használatos anyagokat zárnak a liposzómákba



1. Röntgen-kontrasztanyag

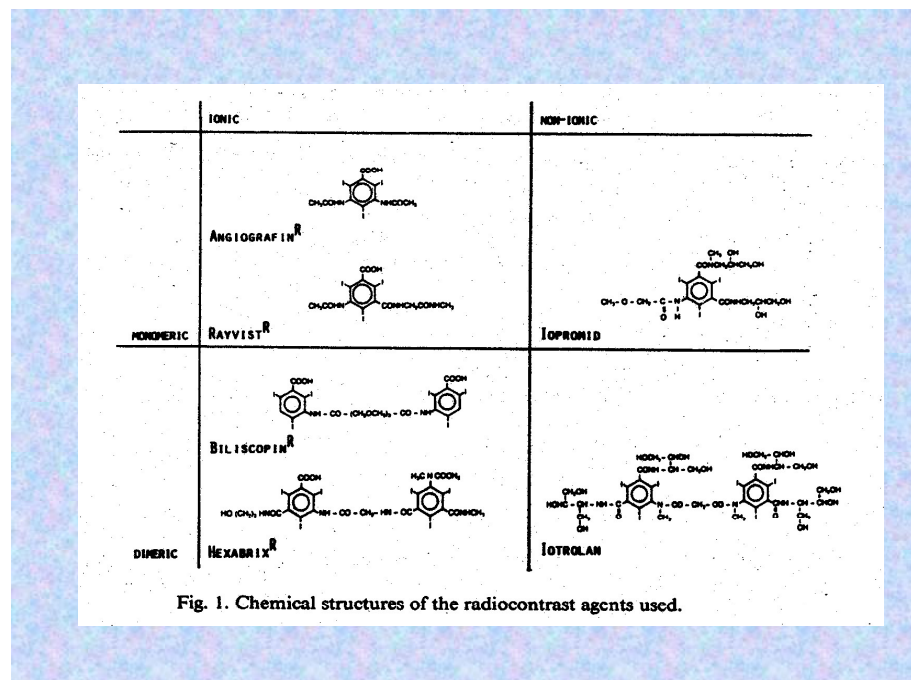
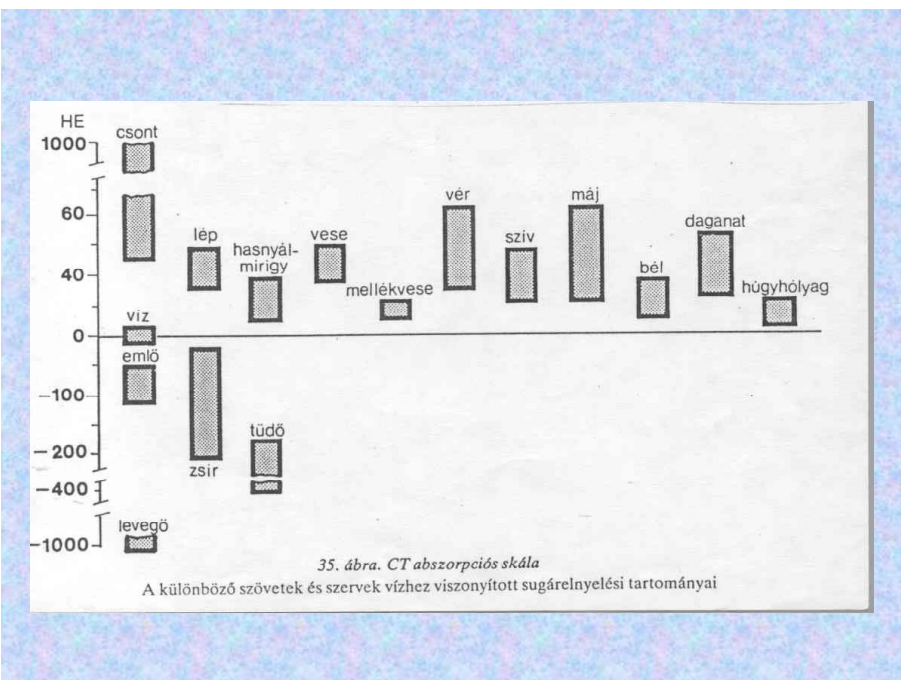
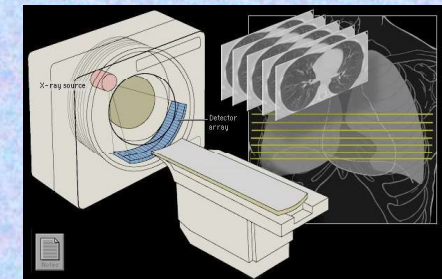
Pl. CT vizsgálatnál az egyes képelemek denzitását határozzák meg egy relatív skálán (Hounsfield-skála)

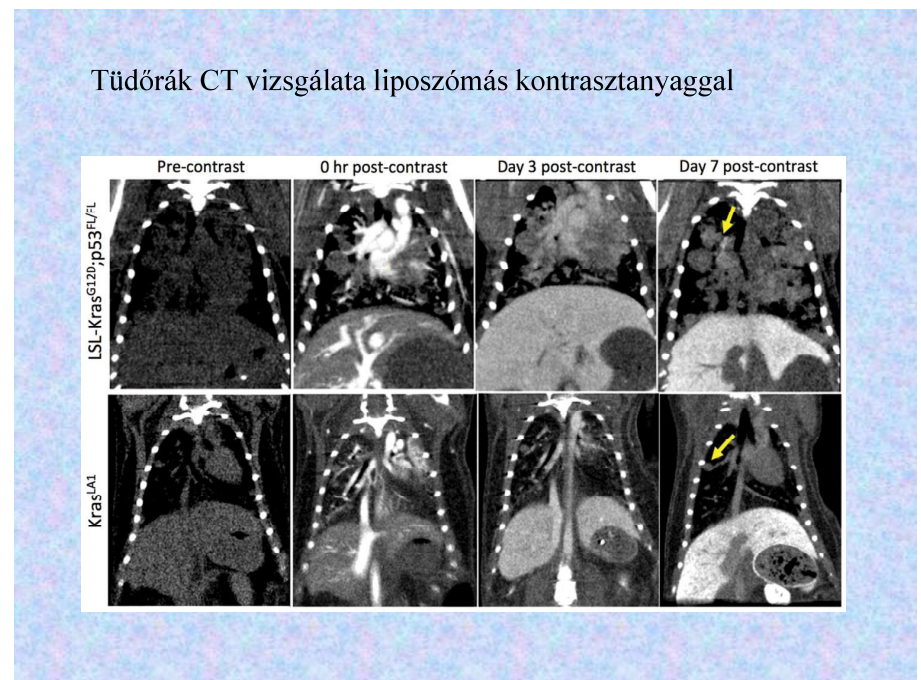
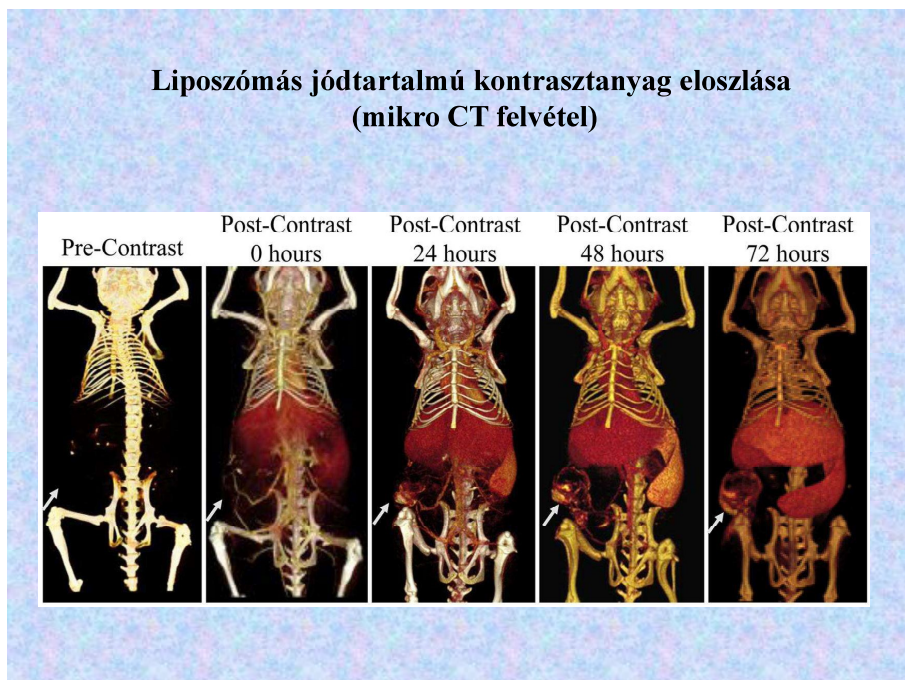
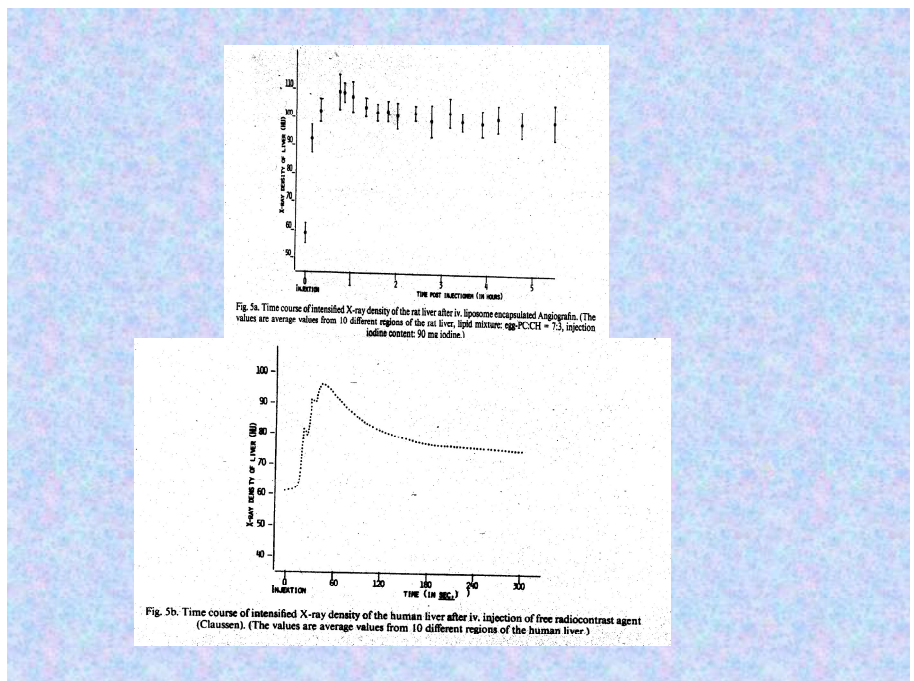
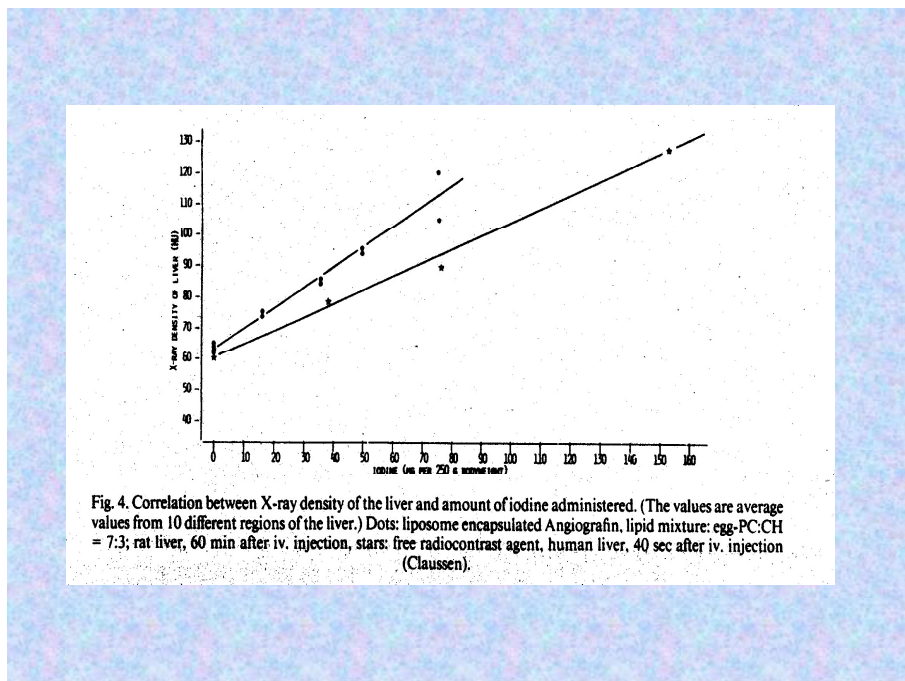
$$HE = \frac{\mu - \mu_{\text{víz}}}{\mu_{\text{víz}}} * 1000$$

A lágy szövetek relatív denzitása szűk tartományban van, ezért gyakran kontrasztanyag szükséges.

Liposzómában

- erősebb kontraszt
- hosszabb ideig





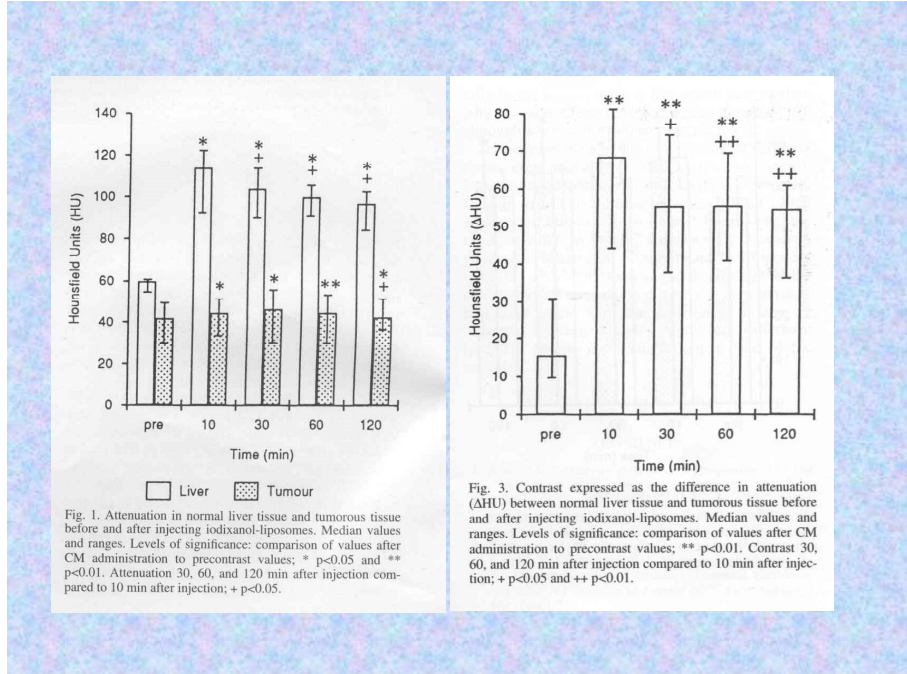
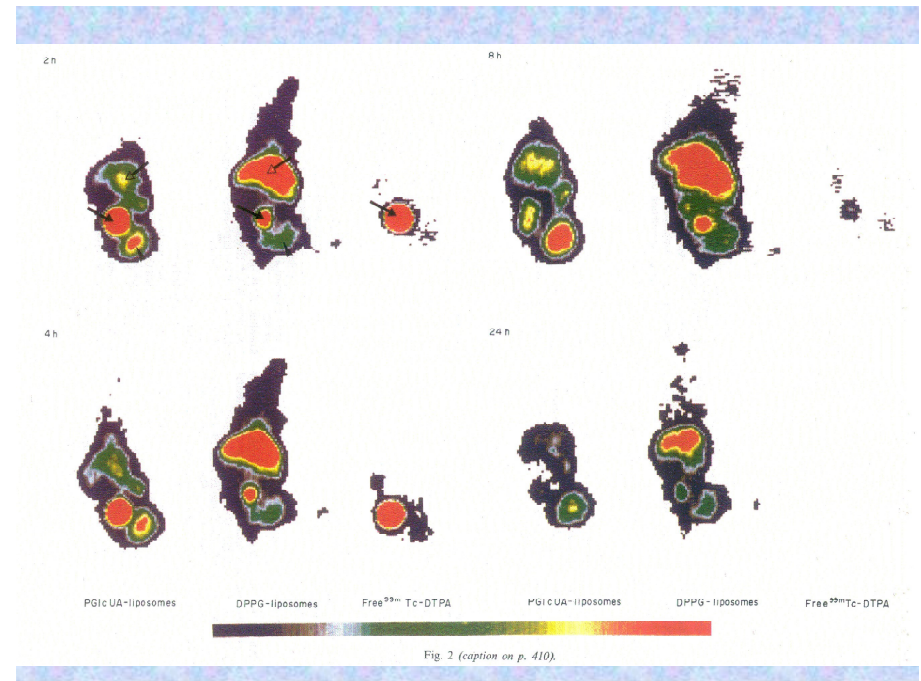
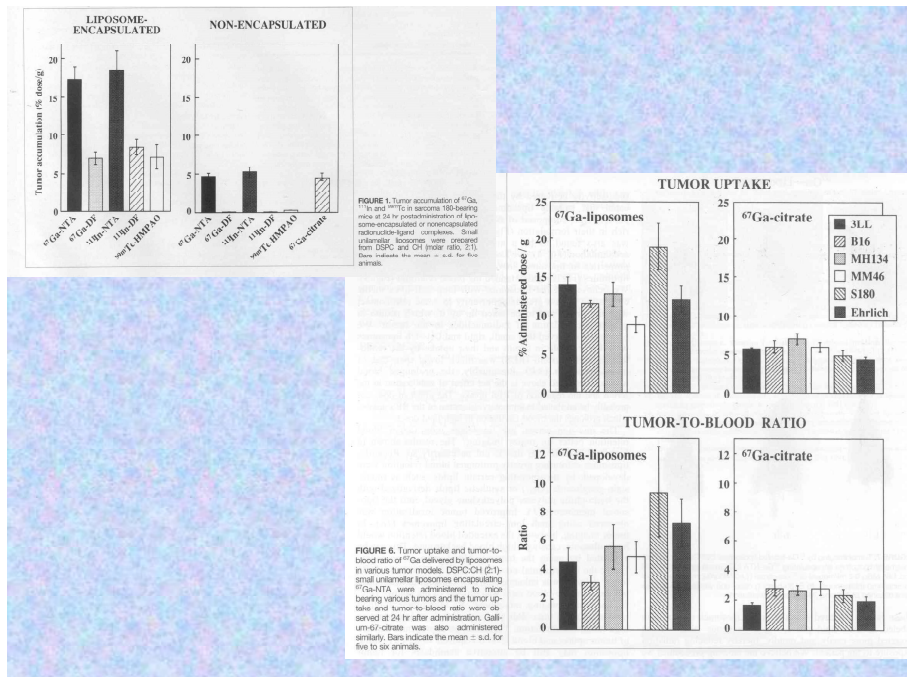
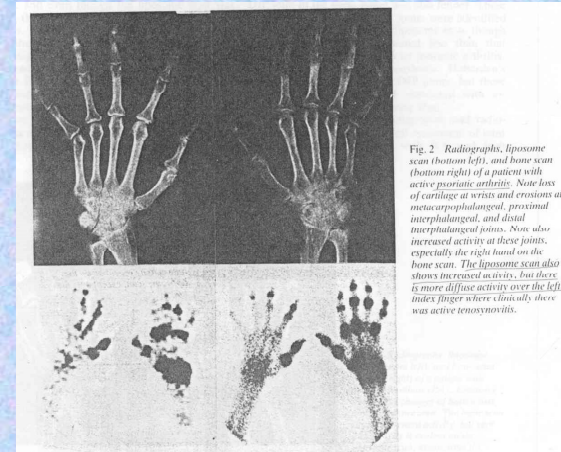


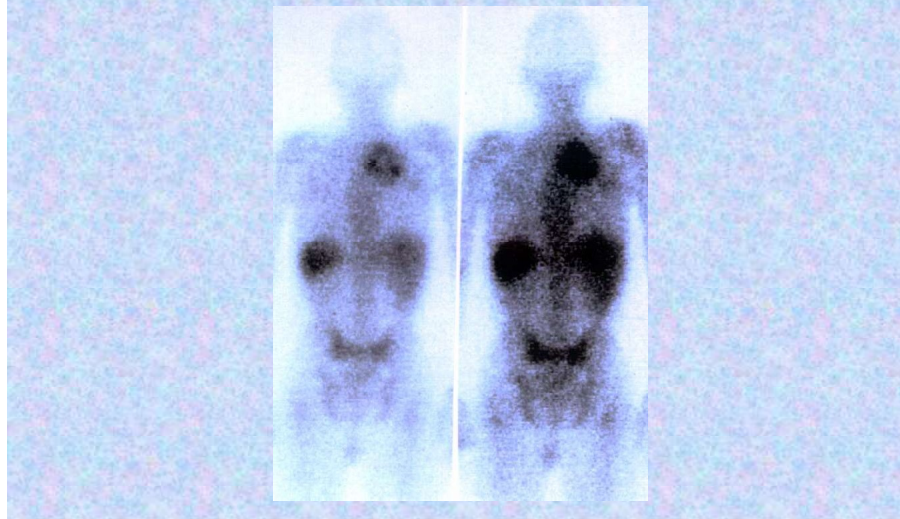
Fig. 3. Contrast expressed as the difference in attenuation (Δ HU) between normal liver tissue and tumorous tissue before and after injecting iodixanol-liposomes. Median values and ranges. Levels of significance: comparison of values after CM administration to precontrast values; ** p<0.01. Contrast 30, 60, and 120 min after injection compared to 10 min after injection; + p<0.05 and ++ p<0.01.

2. Radioaktív izotópek

- Liposzómába zárva specifikusabb kötődés, pl. gyulladásos góchoz, tumorhoz



Szintigram 24 ill. 48 órával az izotópot tartalmazó Stealth liposzóma beadása után (hátulnézet)



Gamma Scintigram of Lung Cancer Patient 96 Hours after PEGylated Liposomes Containing ^{111}In -DTPA

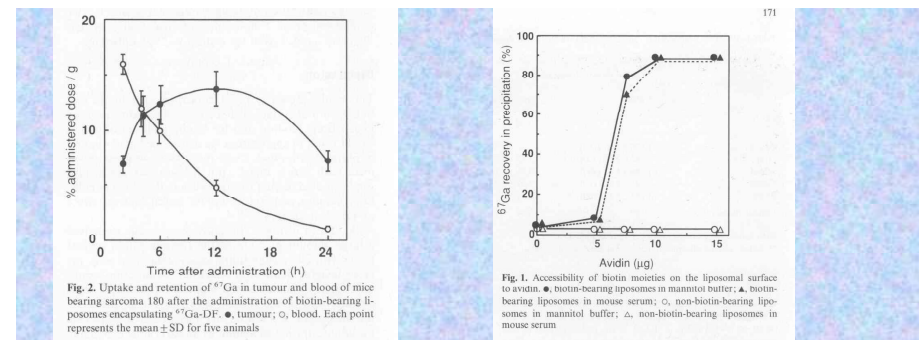
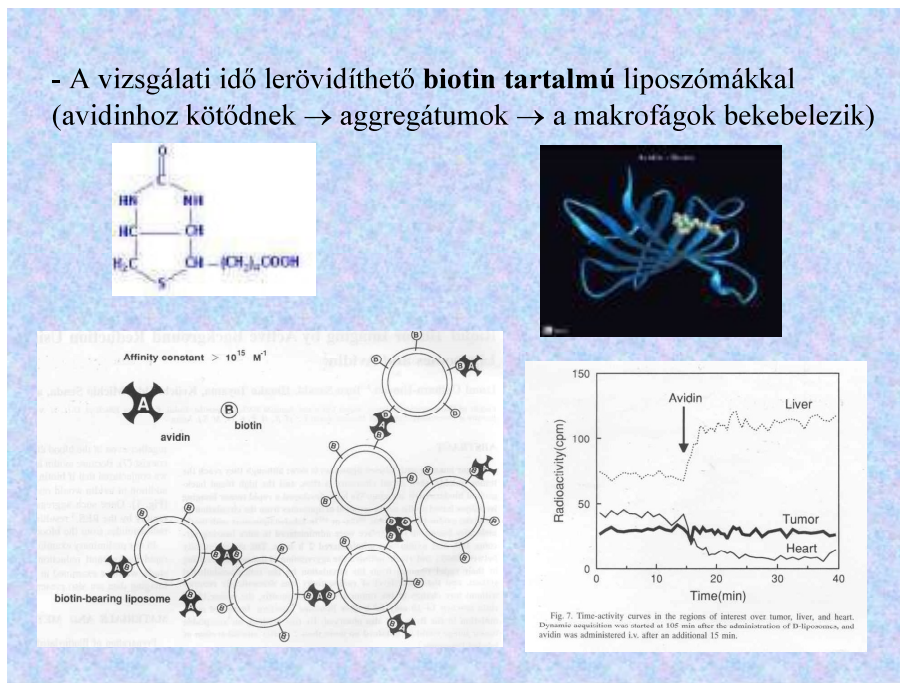


Table I. Effect of post-administration of avidin on the tissue distribution of ^{67}Ga after the administration of biotin-bearing liposomes encapsulating ^{67}Ga -DF

| Tissue | % Administered dose/g tissue | | |
|--------------------|------------------------------|-------------------------|--------------------------|
| | Control | Avidin treated | |
| | 10 μg | 20 μg | 30 μg |
| Tumour | 12.06 \pm 1.57 (100) | 12.51 \pm 1.73 (104) | 11.03 \pm 1.36 (91) |
| Liver | 7.82 \pm 1.14 (100) | 14.15 \pm 2.71 (181)* | 10.22 \pm 2.30 (246)** |
| Spleen | 11.26 \pm 1.62 (100) | 10.96 \pm 1.18 (97) | 17.00 \pm 2.21 (151)** |
| Kidney | 3.35 \pm 0.56 (100) | 3.57 \pm 0.83 (107) | 2.93 \pm 0.40 (68) |
| Blood | 13.48 \pm 1.82 (100) | 13.32 \pm 1.21 (98) | 3.85 \pm 0.18 (28)** |
| Tumour/blood ratio | 0.89 | 0.94 | 2.86 |
| | | | 13.81 |

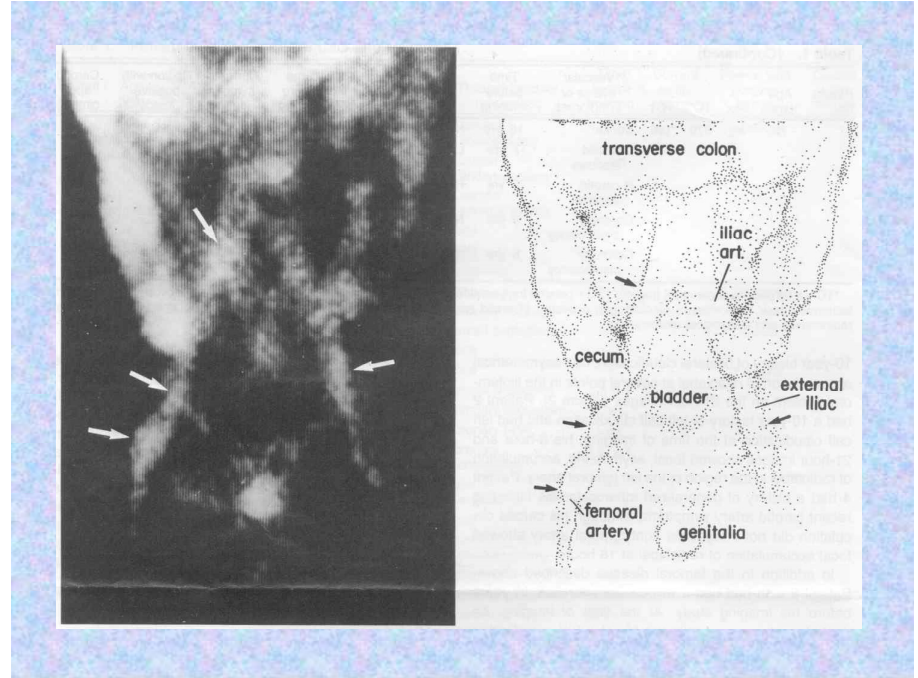
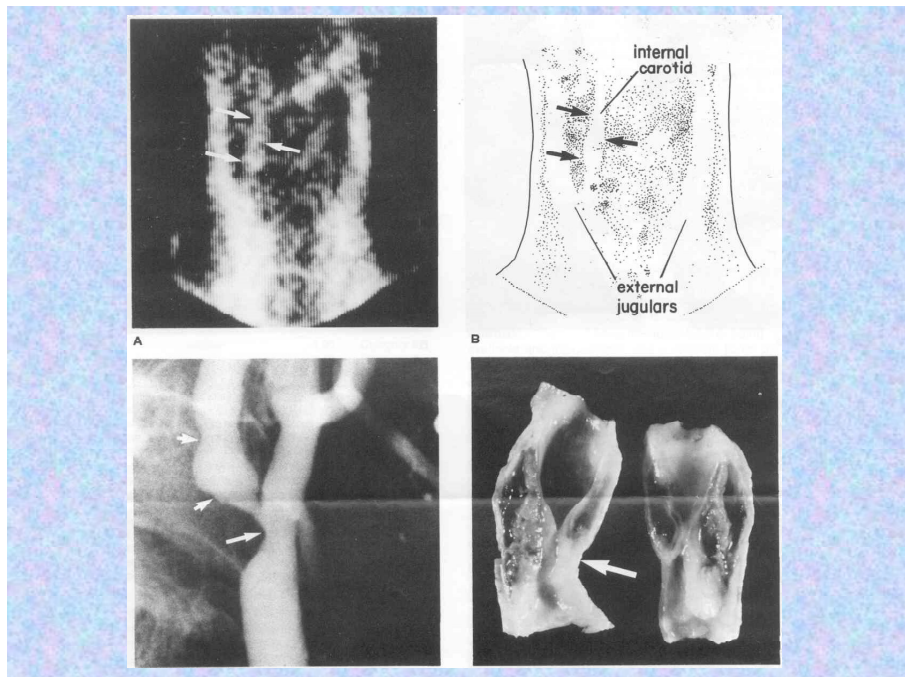
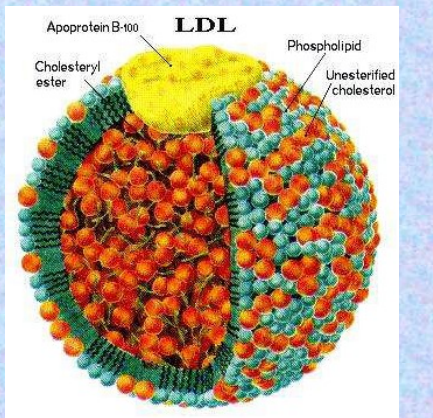
Each value represents the mean \pm SD for five animals

* Statistically significant difference from the control group at $P < 0.01$

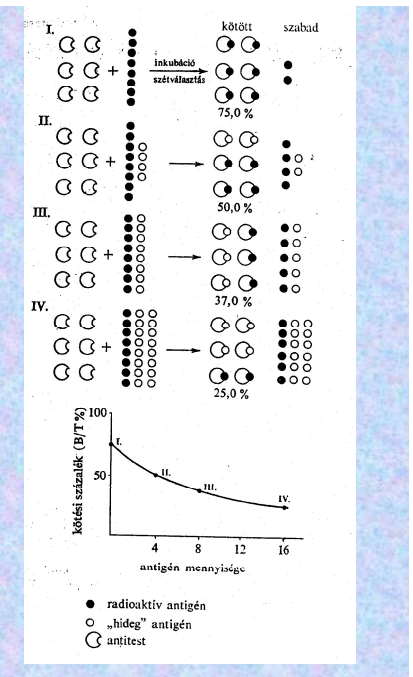


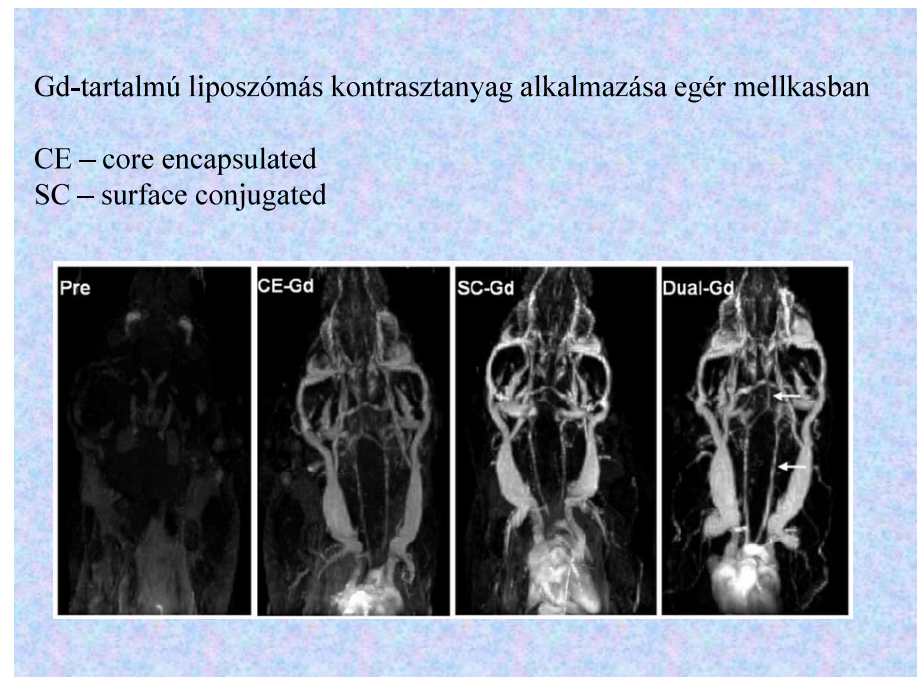
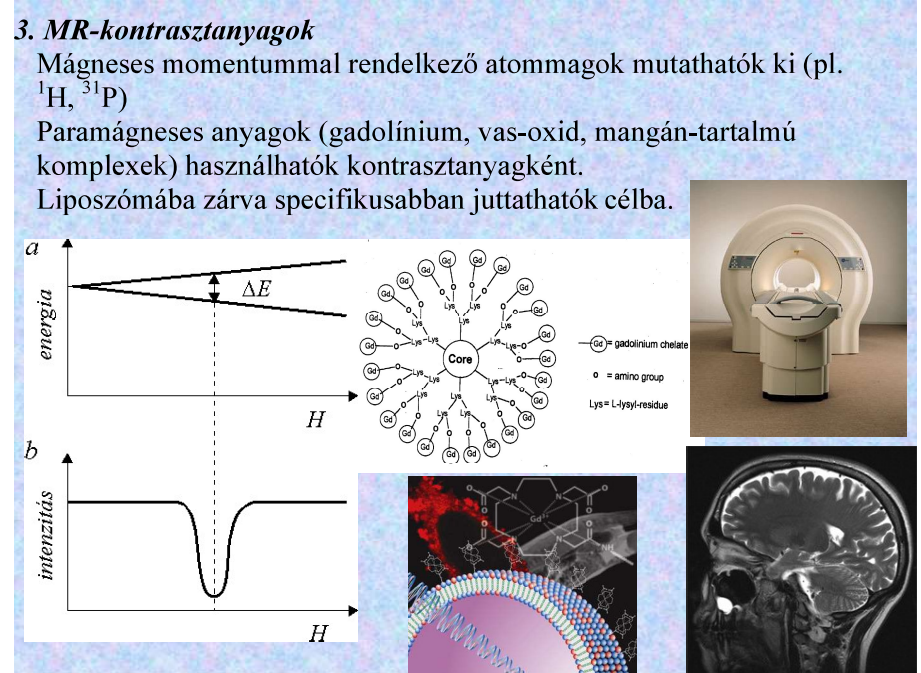
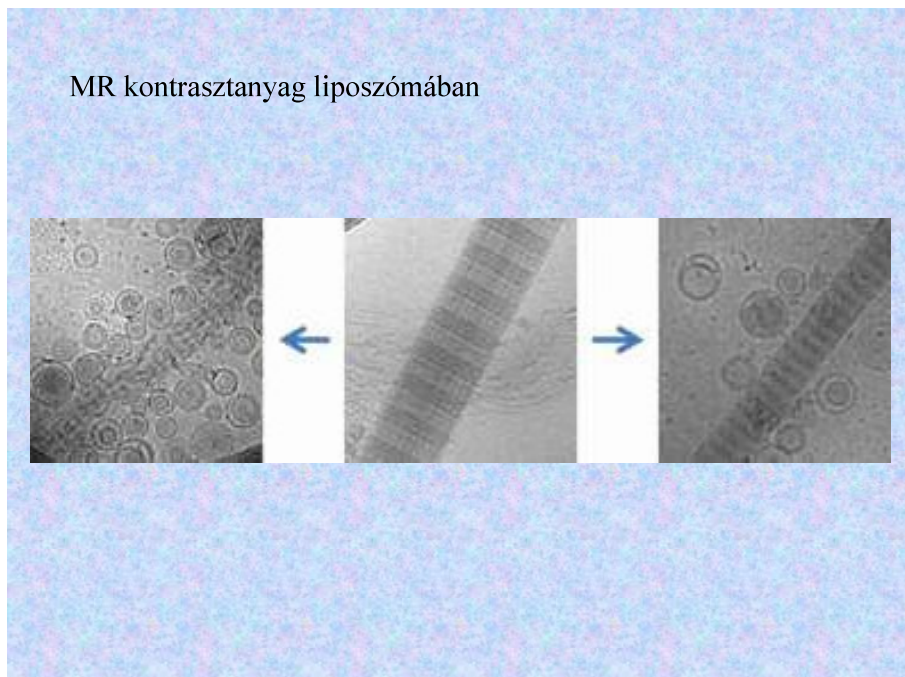
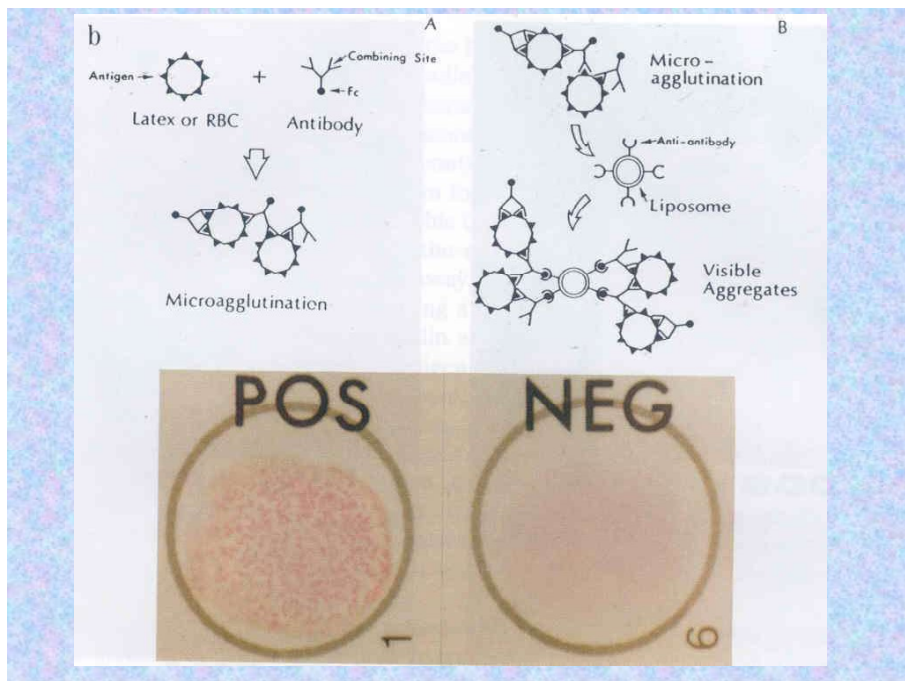
- LDL (low density lipoprotein – a koleszterin anyagcserében játszik szerepet; specifikus sejtfelszíni receptorhoz kötődik – immunliposzómához hasonló viselkedés) – pl. érelmeszesedéses gókok kimutatása

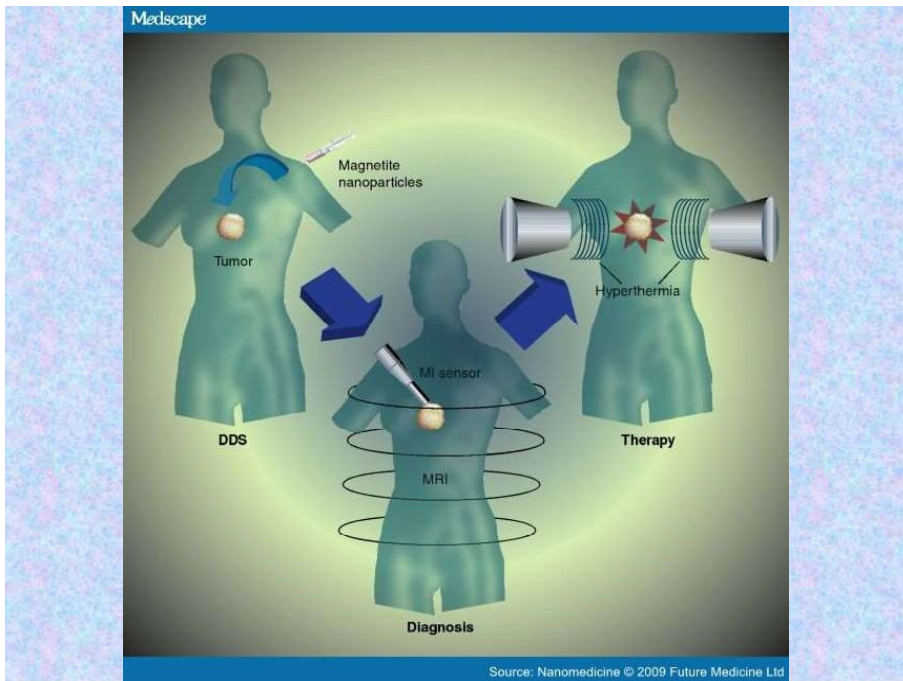
| LDL összetevői | |
|-------------------|------|
| Fehérje | 22 % |
| Foszfolipid | 22 % |
| Koleszterin | 8 % |
| Koleszterinészter | 40 % |
| Triglycerid | 8 % |



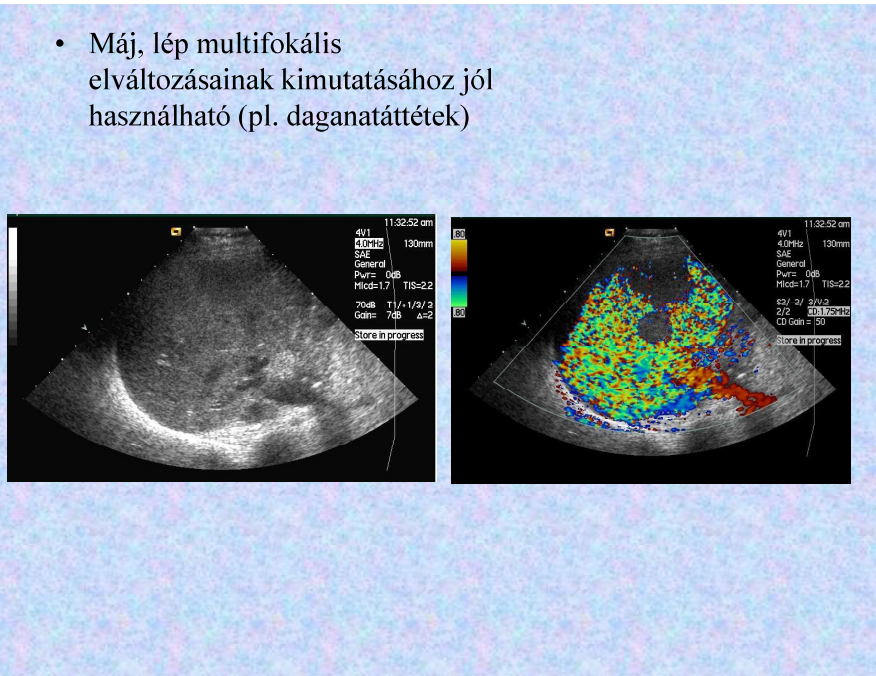
LIA (liposome immuno assay)
A liposzóma antigént tartalmaz és radioizotópot vagy fluoreszcens jelzőanyagot. Ismert mennyiségű antitest hozzáadása esetén az antigén koncentráció meghatározására alkalmas.





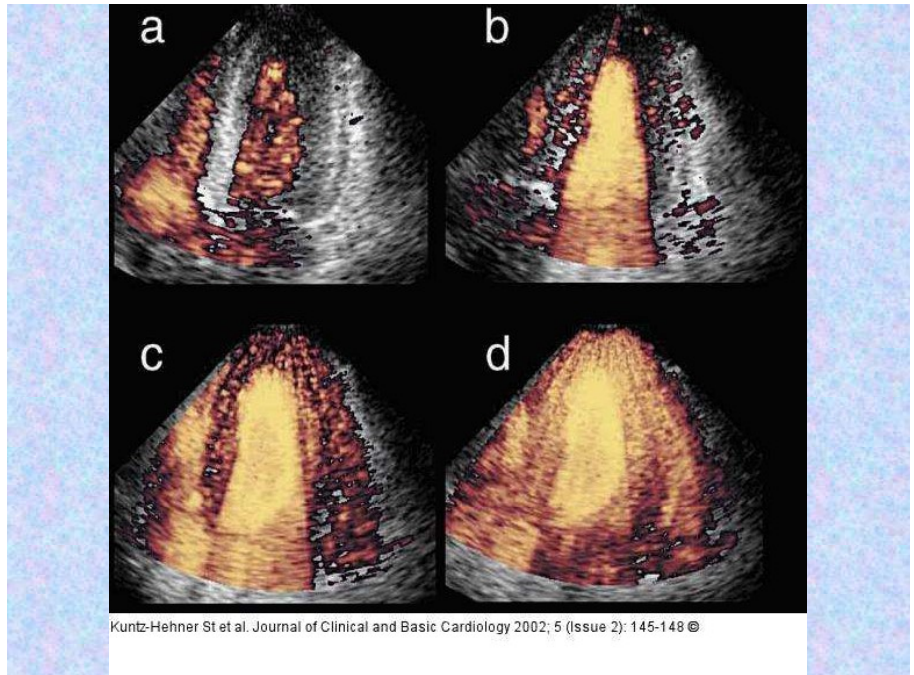


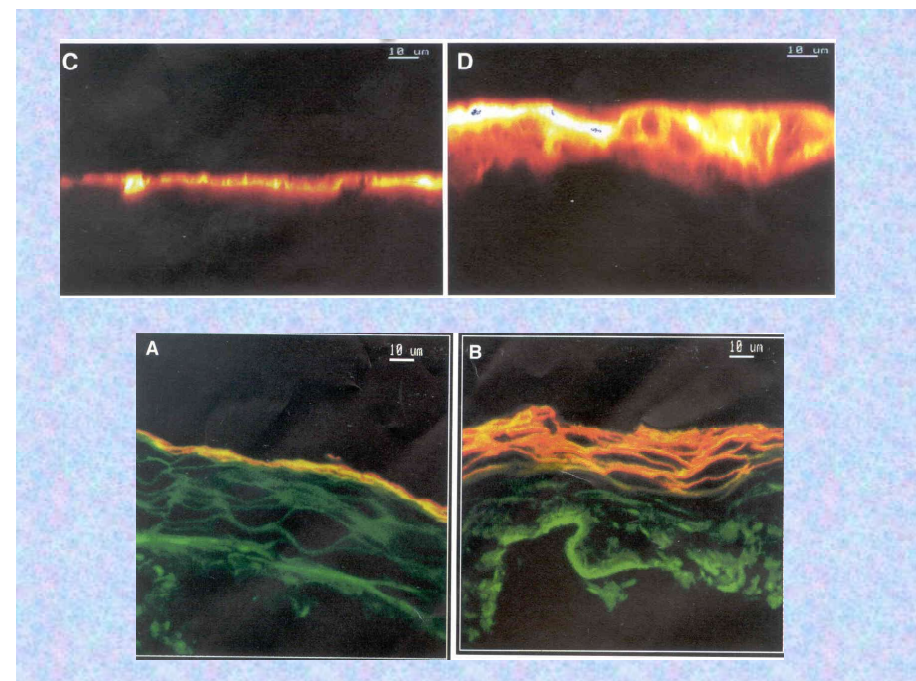
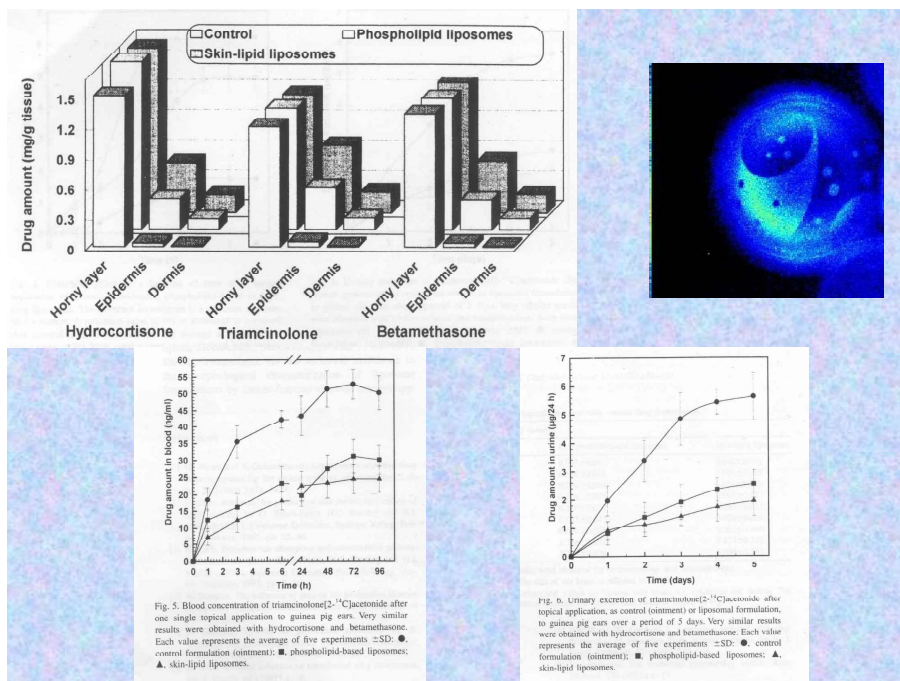
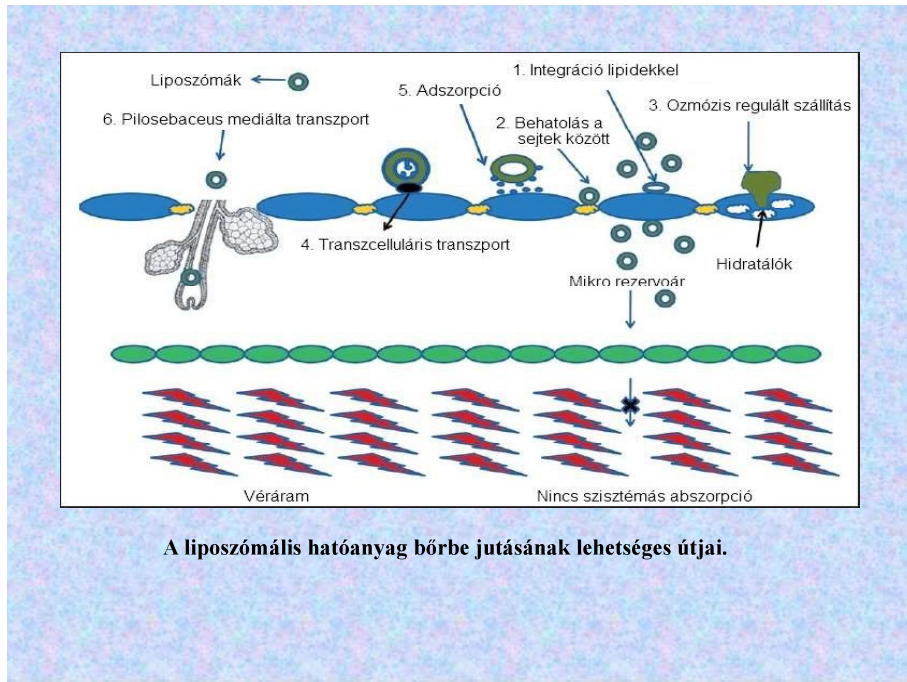
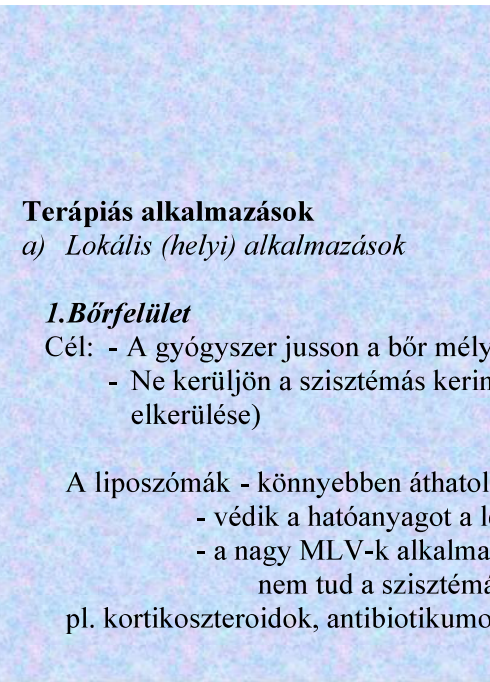
- Máj, lép multifokális elváltozásainak kimutatásához jól használható (pl. daganatáttek)

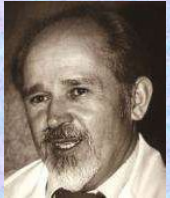


4. UH kontrasztanyagok

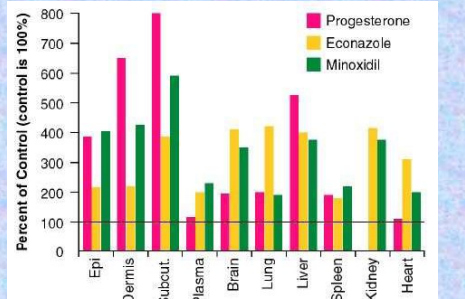
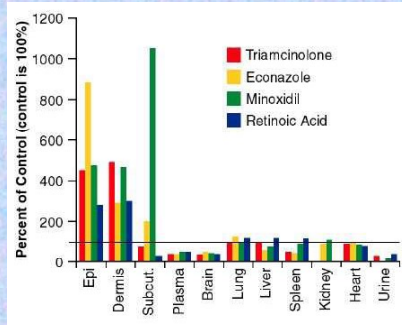
- Az ultrahangos képalkotás biztonságos, noninvazív eljárás
 - A kép minőségét javítja a kontrasztanyag alkalmazása (pl. levegőbuborékok) - erős UH reflexió
 - Liposzómába zárva a levegőt (mikrobuborék) a kontraszthatás javítható
 - pl. echocardiográfia: a szövet-vér határ jól elkülöníthető, az esetleges trombus kimutatható







Michael Mezei
1927-1997



Helyi érzéstelenítők

- Lidocaine

- liposzómás krém 4% hatóanyagtartalommal: elamax® illetve LMX4®



Kozmetika



TRIPLE ACTION Anti-Aging Formula



**Collagen Gels
And Fiber Masks**
We Make The Difference!

Les Nouvelles PARIS™

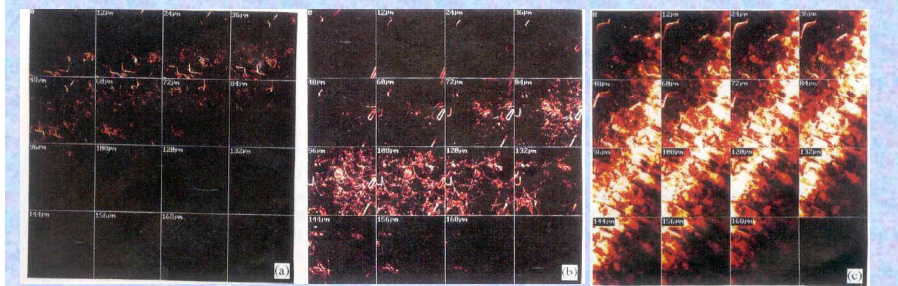
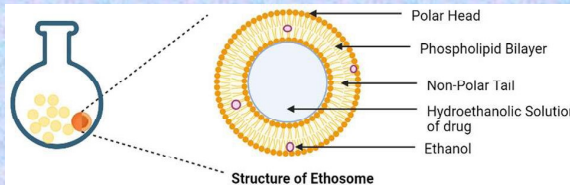
LES NOUVELLES COSMETICS, INC.
Skin Care Manufacturers & Wholesale Distributors
Phone: (205) 592-6818 • Fax: (205) 583-6781
US, Canada, V. Islands & Puerto Rico 1-800-654-5256



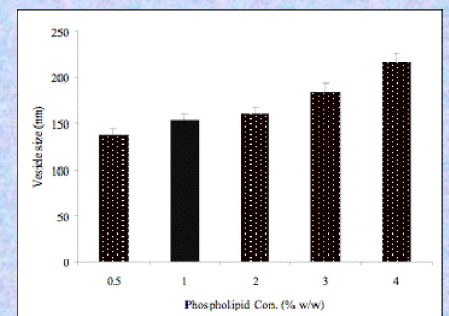
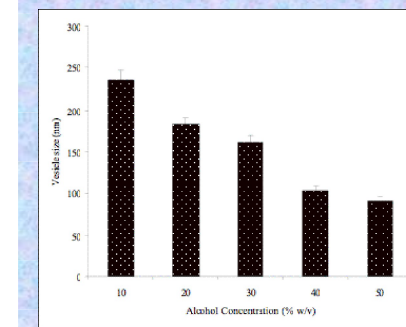
| Product | Marketer | Liposomes and key ingredients |
|---|---|--|
| Capture | Christian Dior | liposomes in gel with ingredients |
| Plénitude | L'Oréal | tanning agents in liposomes |
| Effet du Soleil | Lancôme (L'Oréal) | glycerophether with moisturizers |
| Niosomes | Lancôme (L'Oréal) | vitamins, retinolacetate |
| Nactosomes | Lancôme (L'Oréal) | non-ionic lipid |
| Esprit de Soleil | Lancôme (L'Oréal) | hyaluronic acid |
| Formule Liposomes Oel | Payot (Ferdinand Muhiens) | liposome gel |
| Fundamental Care | Parfums Givenchy | TMP vitam in A palmitate, vitamin E, ceramide, phospholipid |
| Future Perfect Skin Gel | Estee Lauder | Feproteins, trace elem. minerals, vitam. |
| Emulsion Nrl Complexe | Chanel | Aloe vera extract, rose water, soya phospholipid |
| Liposome FRE | Payot | proteoglycan |
| Gel Lissant Contour des Yeux | Elektrobiot (Ernst Kunze GmbH) | thymus extract, hyaluronic acid, vitamin E |
| Heliotrop Liposome | Helena Rubinstein | glycolipid PSL, Sphingolipid E |
| Activ-Pflege | Inovita | BRF System, Repair Factor, thymus extract |
| Intensive Reducer | Pharm/Apotheke | Aloe vera, thymus extract |
| Anti-Cellulit Gel | Kao Sofina Emoliel Cream & Moisture Essence | 20% liposome |
| Inovita | La Myrell Contour & Liposomes Repair Gel Konzentrat | hydrophores fibrostimulin |
| Kao Sofina Emoliel Cream & Moisture Essence | Liposome Aktions Gel | thymus extract, vitamin A palmitate, soya phospholipid |
| La Myrell Contour & Liposomes Repair Gel Konzentrat | Madame Nanette Biocosmetic | chestnut extract, hyalur. acid mucopolysaccharide, hyaluronic acid, liposome |
| Liposome Aktions Gel | Shulton (American Cyanamid) | Liposomal gel for do-it-yourself cosmetic |
| Liposome Skin Vital Complex | Elizabeth Arden Gabriele Wyeth Kosmetik | soothing cream to reduce eye puffiness |
| Micro 2000 Complex | Biopharm GmbH | |
| Anti-Stress | Geymonat | |
| Saneo 2 Liposome Ampule | Gerhard Klapp | |
| Sympathik 2000 | Nattermann PL | |
| Liosen TMH-Ampulle | Avon, NY | |
| Natipide II | | |
| Eye Perfector | | |

Etoszómák:

Lipid (szója foszfatidilkolin) – víz – etanol keverékéből létrehozott 2-3 rétegű lipidpreparátum. Mélyebben hatol be a bőrbe, mint a liposzóma. Elsősorban a szisztemásan ható gyógyszerek transzdermális bevitelében használatosak.



Etoszómák



2. Nyálkahártyák (pl. száj, orr)

Könnyen átjárhatók a gyógyszerek számára
→ rövid ideig tartó helyi hatás,
kifejezettedebb szisztemás hatás
Liposzómában hosszabb helyi és kisebb
szisztemás hatás érhető el (pl. fekélyek
kezelése)



3. Szem

Könnyen átjárhatók a gyógyszerek számára → rövid ideig tartó helyi hatás, kifejezettedebb szisztemás hatás

Hagyományos gyógyszerek:
- csekély penetráció a szembe
- rövid hatástartam

Speciális molekulákat tartalmazó liposzómák a szem bizonyos részeihez nagyobb affinitással kötődnek.

Pl. cornea – gangliozid-tartalmú

lencse – ConA tartalmú

Főleg a nagy MLV-k alkalmazásakor nő a hatóanyag koncentráció a csarnokvízben és a szem egyes részeiben.

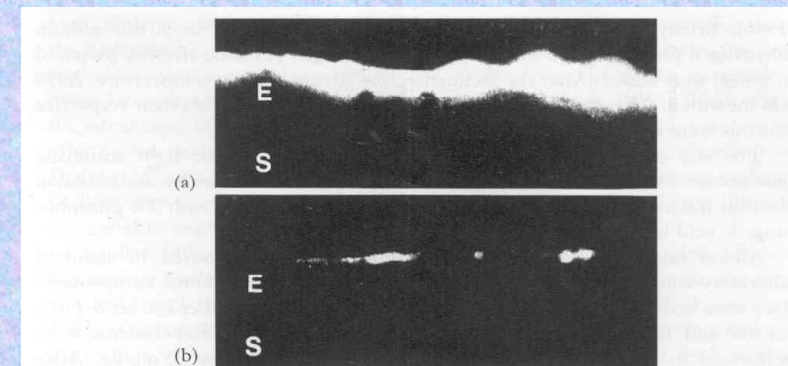


Figure 1. Rat cornea exposed *in-vivo* for 30 min to propidium iodide microencapsulated in liposomes (a) or to propidium iodide dissolved in buffer (b). Sections of frozen eyes were freeze dried and inspected by fluorescence microscopy. Note enhanced uptake of propidium iodide into the corneal epithelium (E) when encapsulated in liposomes. Penetration of the corneal stroma (S) is not seen. ($\times 220$).

Vírusfertőzések (herpesz, citomegalovírus) kezelésére alkalmaznak oligonukleotidokat. A liposzómák megvédi ezeket a bontóenzimek hatásától és megnöveli az üvegtestben való tartózkodásuk idejét az üvegtestbe történő injekciózás esetén.

Corneahoz kötődés erőssége szerinti sorrend: pozitív > negatív > semleges. Ez elektrosztatikus kölcsönhatásra utal.

A kötődés a kettősrétegek számától is függ:

$$\text{MLV}^+ > \text{SUV}^+ > \text{MLV}^- > \text{SUV}^- > \text{MLV, SUV}$$

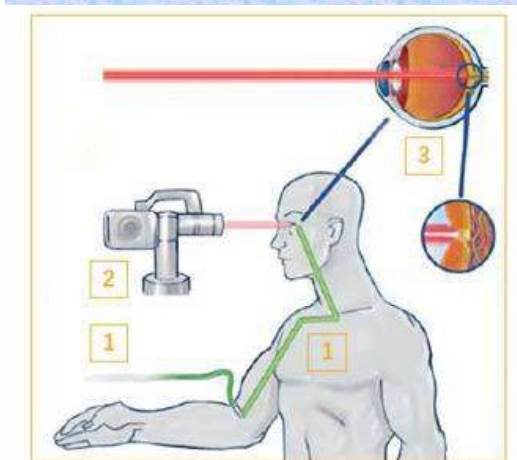
Acetazolamid bezárási hatásfoka és a kiszabadult hatóanyag aránya:

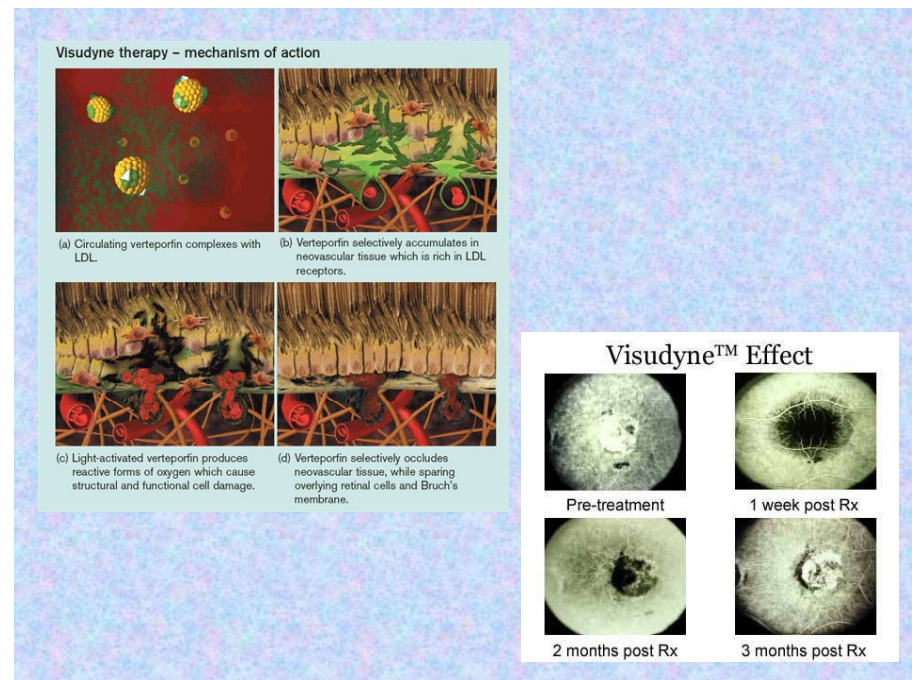
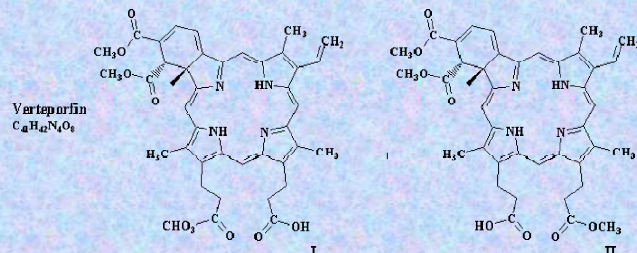
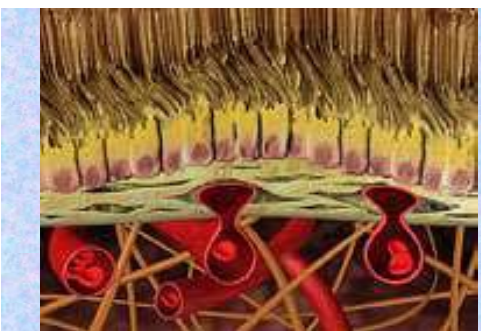
| | Semleges | Negatív | Pozitív |
|--|----------|---------|---------|
| Bezáras hatásfoka | 41,06 % | 29,27 % | 49,58 % |
| Kiszabadult hatóanyag aránya 9 óra elteltével | 33,8 % | 13,36 % | 26,7 % |



Fig. 1. Photographs showing gradual stages of healing and disappearance of Candida keratitis treated with: (A) fluconazole solution (first group), (B) and (C) fluconazole-loaded liposome in a rabbit (second group). (1) Before treatment. (2) One week after treatment. (3) Two weeks after treatment. (4) Three weeks after treatment.

- Időskori macula elfajulás (age-related macular degeneration - AMD) kezelése liposzómás porfirinszármazék (Visudyne) és lézerkezelés kombinációjával. (fotodinámiás terápia (PDT)





4. Tüdő és légutak

Bevitel porlasztás és inhaláció során.

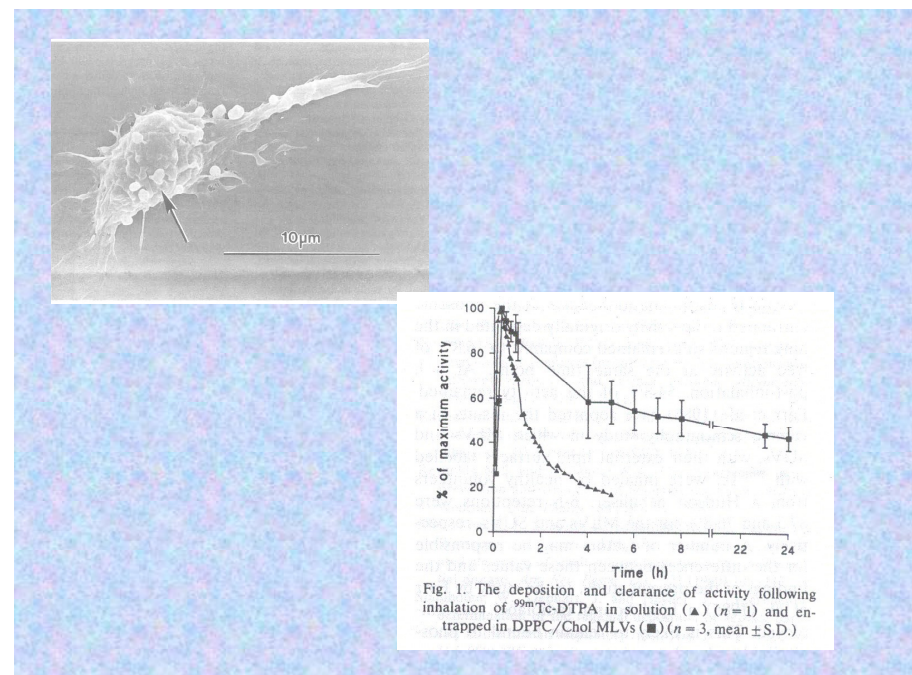
A tüdő felületaktív anyagához hasonló összetételű liposzómák a legjobban alkalmazhatók (főleg DPPC és PG)

A bejutás hatásfoka és mélysége főleg az aerosol részecskeméretétől függ, nem a liposzómáétól.

A porlasztás során a bezárt anyag egy része elvész. Ennek aránya függ a liposzóma összetételétől. Kisebb liposzóma méret ill. kisebb porlasztási sebesség esetén csökken a veszteség.

A liposzómás gyógyszerbevitel előnyei:

- Megelőzi a helyi irritációt és a tüdőbeli toxikus hatást
- Meghosszabbítja a terápiás gyógyszerkoncentráció fennállási idejét
- Nagy intracelluláris gyógyszerkoncentrációt idéz elő



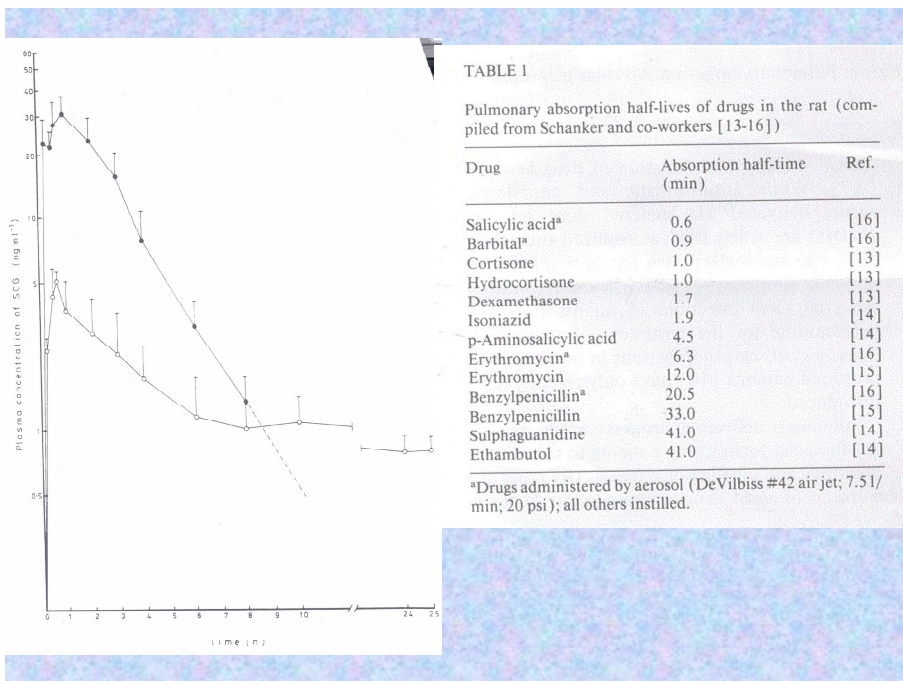


TABLE 1

Pulmonary absorption half-lives of drugs in the rat (compiled from Schanker and co-workers [13-16])

| Drug | Absorption half-time (min) | Ref. |
|-------------------------------|----------------------------|------|
| Salicylic acid ^a | 0.6 | [16] |
| Barbital ^a | 0.9 | [16] |
| Cortisone | 1.0 | [13] |
| Hydrocortisone | 1.0 | [13] |
| Dexamethasone | 1.7 | [13] |
| Isoniazid | 1.9 | [14] |
| p-Aminosalicylic acid | 4.5 | [14] |
| Erythromycin ^a | 6.3 | [16] |
| Erythromycin | 12.0 | [15] |
| Benzylpenicillin ^a | 20.5 | [16] |
| Benzylpenicillin | 33.0 | [15] |
| Sulphaguanidine | 41.0 | [14] |
| Ethambutol | 41.0 | [14] |

^aDrugs administered by aerosol (DeVilbiss #42 air jet; 7.5 l/min; 20 psi); all others instilled.

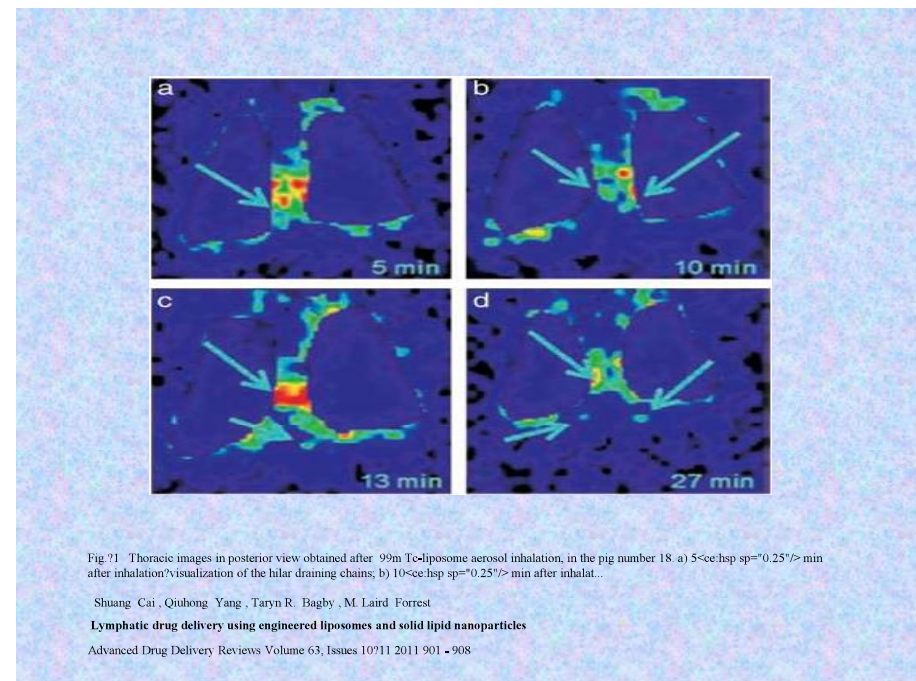


Fig. 21. Thoracic images in posterior view obtained after 99m Tc-liposome aerosol inhalation, in the pig number 18. a) 5<ce hsp sp=0.25</> min after inhalation; visualization of the hilar draining chains; b) 10<ce hsp sp=0.25</> min after inhalat...

Shuang Cai , QiuHong Yang , Taryn R. Bagby , M. Laird Forrest

Lymphatic drug delivery using engineered liposomes and solid lipid nanoparticles

Advanced Drug Delivery Reviews Volume 63, Issues 10/11 2011 901 - 908

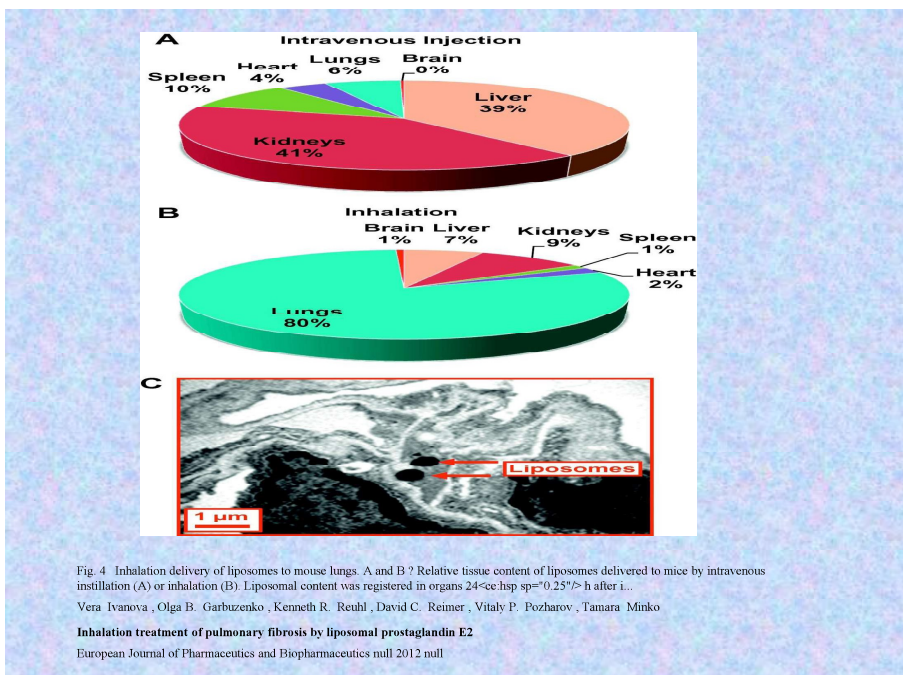
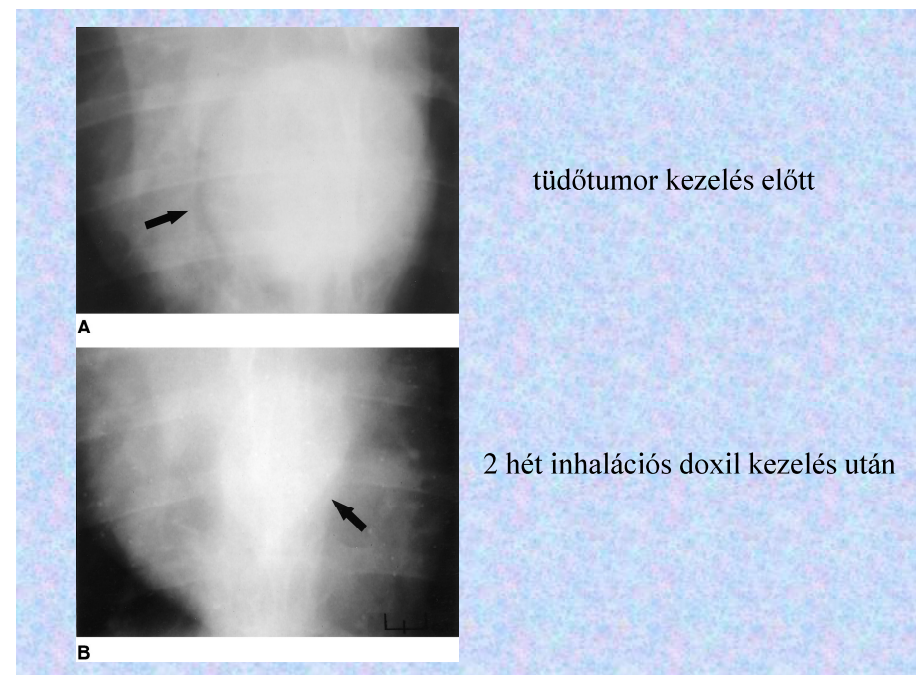


Fig. 4 Inhalation delivery of liposomes to mouse lungs. A and B ? Relative tissue content of liposomes delivered to mice by intravenous instillation (A) or inhalation (B). Liposomal content was registered in organs 24<ce hsp sp=0.25</> h after i...

Vera Ivanova , Olga B. Garbuzenko , Kenneth R. Reuhl , David C. Reiner , Vitaly P. Pozharov , Tamara Minko

Inhalation treatment of pulmonary fibrosis by liposomal prostaglandin E2

European Journal of Pharmaceutics and Biopharmaceutics null 2012 null



tüdőtumor kezelés előtt

2 hét inhalációs doxil kezelés után

Mycobacterium avium fertőzés kezelése liposzómás amikacin
inhalációjával (Arikayce)

